

TMAC: โพรโทคอลชั้นแมคเพื่อการสื่อสารระยะไกลสำหรับโพรโทคอลเอ็มคิวทีกีบันเครือข่ายลอร่า

TMAC: A telemetry MAC protocol for MQTT over LoRa networks

ธงชัย เจ้อจันทร์¹, ทวีวรรณ์ มูลจัด¹ และ เอกชนช์ เหลืองศิริวรรณ^{1*}

Thongchai Chuachan¹, Taweewat Moonjat¹ and Aktanat Luengsiriwan^{1*}

Received: 29 August 2022 ; Revised: 13 January 2023 ; Accepted: 16 February 2023

บทคัดย่อ

เอ็มคิวทีกีบันเป็นโพรโทคอลที่ออกแบบและพัฒนาสำหรับการเชื่อมต่อที่มีแบบดิจิตท์ต่ำ และถูกนำไปประยุกต์ใช้อย่างแพร่หลายสำหรับอินเทอร์เน็ตในสรรพสิ่ง ซึ่งส่วนใหญ่เอ็มคิวทีกีบันจะถูกประยุกต์ใช้เพียงบนเครือข่ายรูปแบบที่ซีพีไอพีเดิม แต่ปัจจุบันมีความต้องการใช้เอ็มคิวทีกีสำหรับเครือข่ายระยะไกลมากขึ้น โดยงานวิจัยก่อนหน้านี้ยังไม่มีการพัฒนาโพรโทคอลเอ็มคิวทีกีให้ผ่านไปร่วมกับเครือข่ายระยะไกลได้อย่างมีประสิทธิภาพ งานวิจัยนี้จึงออกแบบและพัฒนาโพรโทคอล TMAC เพื่อขยายการเชื่อมต่อโพรโทคอลเอ็มคิวทีกีถูกใช้สำหรับเครือข่ายระยะไกล และทดลองโพรโทคอลจากการวิจัยนี้บนระบบเทสเบด ซึ่งผลการทดลองพบว่า โพรโทคอล TMAC สามารถเชื่อมต่อได้ในระยะไม่ต่างกันกว่า 5 กิโลเมตรและมีโอเวอร์ヘดของเน็ตเวิร์คต่ำ

คำสำคัญ: เอ็มคิวทีกี เครือข่ายลอร่า ไอโอที

Abstract

MQ Telemetry Transport (MQTT) has been designed and developed for an ultra-low bandwidth communication and has been applied to used in Internet of Things (IoT). Recently, MQTT has been used in traditional TCP/IP networks. Yet, the ultra-low bandwidth and long-range communication of MQTT have been considerably increased. Previous proposed techniques still struggle to make MQTT compatible with Long-Range (LoRa) networks. In this paper, we have design and implement the Telemetry Media Access Control (TMAC). Our TMAC helps increase ranges of MQTT's data communications. We have experimented our TMAC using a network testbed. Experimental results have illustrated that our TMAC can transfer data over 5 kilometers with low network overhead.

Keywords: MQTT, LoRa Networks, IoT

¹ สาขาวิชาการคอมพิวเตอร์ คณะวิทยาศาสตร์และเทคโนโลยี มหาวิทยาลัยราชภัฏสุรินทร์ จังหวัดสุรินทร์

¹ Computer science, Faculty of Science and Technology Surin Rajabhat University, Surin Province

* Corresponding author Email: aktanat@sruu.ac.th

บทนำ

MQ Telemetry Transport (MQTT) (HiveMQ, 2020) เป็นหนึ่งในโปรโตคอลที่ถูกใช้อย่างแพร่หลายสำหรับการเชื่อมเข้าสู่ระบบเครือข่ายอินเทอร์เน็ตของอุปกรณ์อินเทอร์เน็ตในสรรพสิ่ง (Internet of Things: IoT) โดย MQTT ถูกนำมาประยุกต์ใช้เพื่อควบคุมสิ่งการและรับข้อมูลจากอุปกรณ์เซ็นเซอร์ (Sensors) ผ่านเครือข่าย Ethernet และ WiFi เป็นต้น ซึ่งทำให้ MQTT มีความสำคัญอย่างมากสำหรับ IoT ในปัจจุบัน

จากการต้องการประยุกต์ใช้ IoT สำหรับเครือข่ายระยะไกล หน่วยงาน Internet Engineering Task Force (IETF) (IETF, 2021) จึงออกแบบมาตรฐาน Low-Power Wide Area Network (LPWAN) (Heile *et al.*, 2018) เพื่อเพิ่มศักยภาพของ IoT ให้สามารถเชื่อมต่อผ่านเครือข่ายไร้สายที่มีระยะครอบคลุมพื้นที่การเชื่อมต่อกว้างขึ้น โดย Long-Range (LoRa) (Ferré & Giremus, 2018; Vangelista, 2017) เป็นหนึ่งเทคโนโลยีการถ่ายสัญญาณ (Modulation) ของเครือข่ายไร้สายที่ถูกนำมาใช้ แต่ LoRa ขาดโปรโตคอลควบคุมการเชื่อมต่อสื่อสารระหว่างอุปกรณ์ และไม่สามารถนำ MQTT ผ่านเป็นส่วนหนึ่งกับ LoRa ได้

ก่อนหน้านี้มีการพัฒนาโปรโตคอล Long Range Wide Area Networks (LoRaWAN) (Petrariu *et al.*, 2019) ทำงานเทียบได้กับชั้น Media Access Control (MAC) (Ansari & Zhang, 2013) ที่ถูกออกแบบมาสำหรับการรับและส่งเฟรมข้อมูลของ LoRa ซึ่ง LoRaWAN มีความสามารถ เช่น เชื่อมต่อแบบสองทาง (Full Duplex) มีกลไกควบคุมการส่งเฟรมข้อมูล และสามารถผ่าน LoRaWAN ให้ถูกใช้งานกับ MQTT ผ่านทางแม่ข่าย (Server) ของ LoRaWAN ได้ แต่ LoRaWAN ไม่สามารถผ่าน MQTT ได้โดยตรงที่เกตเวย์ดัง Figure 3 (ในส่วนของ App Server) ไม่สามารถสื่อสารได้แบบปลายทางสู่ปลายทาง (End-to-End) มีความหน่วงของการเชื่อมต่อสูง (High Latency) และส่งผลกระทบต่อประสิทธิภาพการเชื่อมต่อสื่อสารดัง (Kietzmann *et al.*, 2022) ได้ก่อรำวไว้

ด้านงานวิจัยที่มีแนวคิดที่จะนำ MQTT มาผ่านเข้ากับ LoRa (Bhawiyuga *et al.*, 2019 ; Huang *et al.*, 2019 ; Spinsante *et al.*, 2017 ; Sun *et al.*, 2020) นั้น ส่วนใหญ่ใช้วิธีสร้างเกตเวย์และรับข้อมูลจากอุปกรณ์ IoT ในชั้น LoRa โดยไม่มีการพัฒนาชั้น MAC และถึงแม้ว่าจะมีโอบาเร่อร์เข้าด้านการประมวลผล (Computational Overhead) ไม่สูง แต่จะเกิดโอบาเร่อร์เข้าด้านเครือข่าย (Network Overhead) สูงหากอุปกรณ์เกิดการเชื่อมต่อล้มเหลว เกิดข้อมูลสูญหายโดยที่ไม่มีกลไกตรวจสอบ ทำให้การเชื่อมต่อโดยใช้ LoRa นั้นไม่มีความน่าเชื่อถือ (Unreliable) และไม่มีวิธีจัดการเมื่อต้องส่งข้อมูลที่มี

ขนาดใหญ่กว่าแบบเดิมที่ของ LoRa และไม่สามารถเชื่อมต่อแบบ Full Duplex ได้

ส่วนการประยุกต์ฐาน SCHC over LoRaWAN (Audebert *et al.*, 2021) ถูกออกแบบให้มีกลไก Fragmentation and Reassembly (FaR) อยู่บน LoRaWAN โดยใช้กลไกของ Static Context Header Compression and Fragmentation (SCHC) (Minaburo *et al.*, 2020) ซึ่งช่วยให้การพัฒนามีความสะดวกมากขึ้นและสามารถนำ MQTT ผ่านกับ LoRa ได้โดยให้ MQTT อยู่บนโปรโตคอล SCHC แต่การเพิ่มชั้นเครือข่าย MQTT ให้อยู่บน SCHC และ LoRaWAN นั้นจะทำให้มีโอบาเร่อร์ เข้าด้วยกันสูง และไม่เหมาะสมกับการนำไปใช้กับเครือข่ายที่มีทั้งแบบเดิมและทรัพยากรประเมินผลต่ำ

งานวิจัยนี้จึงออกแบบและพัฒนาโปรโตคอล Telemetry Media Access Control (TMAC) สำหรับการสื่อสารโดยใช้ MQTT บนเครือข่าย LoRa ที่มีคุณสมบัติ 1) ปรับปรุงโปรโตคอล MQTT ให้ผ่านใช้งานร่วมกับ LoRa ได้ 2) เพิ่มปริมาณการส่งข้อมูลโดยพัฒนากลไก FaR 3) มีกลไกป้องกันการสูญเสียของข้อมูลในชั้น MAC และ 4) เชื่อมต่อ MQTT ที่ถูกใช้อยู่ในปัจจุบัน โดย TMAC ถูกพัฒนาโดยใช้ MicroPython ติดตั้งและทดสอบโปรโตคอลบน hardware รุ่น ESP32 TTGO-v1.0 แล้วทดสอบบนเครือข่าย Test-bed เพื่อศึกษาโอบาเร่อร์เข้าด้วยกัน และดีเลย์ (Delay) และกลไกการกู้คืน (Recovery) แพ็กเกตที่เกิดสูญเสีย ซึ่งผลการทดลองพบว่าโปรโตคอลจากงานวิจัยนี้ เกิดโอบาเร่อร์เข้าด้วยกันต่ำ และเกิดการสูญเสียและมีการกู้คืนสัดส่วนน้อยที่การส่งสัญญาณระยะ 5 กิโลเมตร

ทบทวนวรรณกรรมที่เกี่ยวข้อง

1. โปรโตคอล MQTT

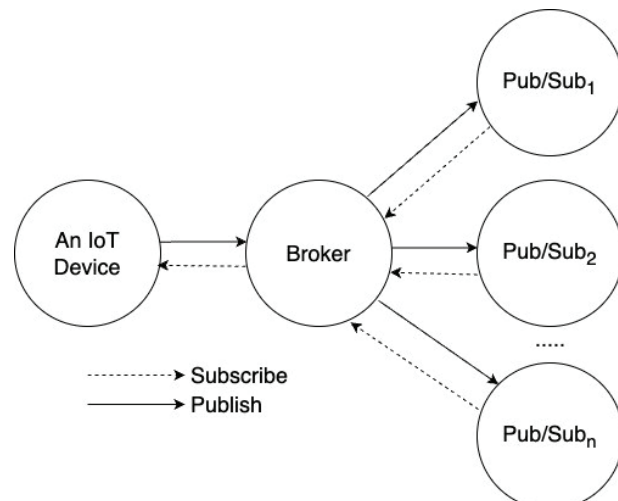


Figure 1 An MQTT system architecture

MQ Telemetry Transport (MQTT) เป็นหนึ่งในโปรโตคอลที่ถูกใช้สำหรับการรับและส่งคำสั่งควบคุมระหว่างอุปกรณ์ IoT และผู้ใช้โดยอาศัยตัวกลาง (Broker) ดังแสดงใน Figure 1 ทั้งอุปกรณ์ IoT และผู้รับข้อมูล (Pub/Sub ใน Figure 1) จะต้องเชื่อมไปยัง Broker ก่อนและถ้าหาก Pub/Sub จะสื่อสารไปยังอุปกรณ์ IoT (An IoT Device) จะต้องส่งคำสั่งไปที่ Broker โดยใช้ชื่อเรียก เช่น /room1/light เป็นต้น ซึ่งเรียกว่าการ Publish ข้อมูล จากนั้นอุปกรณ์ใดๆ ก็ตามที่เชื่อมไปยัง Broker และมีการรับข้อมูล (Subscribe) ขึ้นเดียวกัน Broker จะส่งข้อมูลดังกล่าวให้กับทุกอุปกรณ์ที่ Subscribe ไว้

โปรโตคอล MQTT ในปัจจุบันทำงานอยู่บนชั้น TRANSPORT (Transport layer) ส่งข้อมูลโดยใช้ TCP (Socolofsky & Kale, 1991) และส่งข้อมูลได้แบบเรียลไทม์ (Realtime) ซึ่งเกิดจากปัจจัยการออกแบบที่คำนึงถึงประสิทธิภาพการใช้พลังงานแบบเตอร์เรียล ใช้แบบตัววัดที่ต่ำ และกำลังเป็นเครื่องมือสำคัญสำหรับการเชื่อมต่อระหว่างอุปกรณ์ IoT ที่ต้องการครอบคลุมพื้นที่สั่งสัญญาณในระยะไกลได้

2. โปรโตคอล LoRaWAN

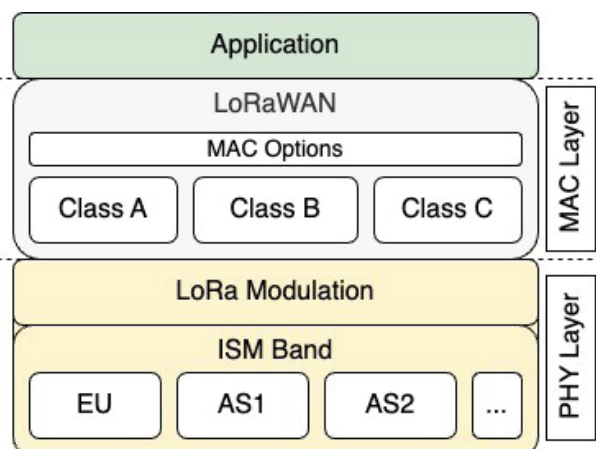


Figure 2 LoRaWAN protocol stack

Long Range Wide Area Networks (LoRaWAN) (Petrariu et al., 2019) เป็นโปรโตคอลในชั้น MAC ที่สนับสนุนให้เกิดการเชื่อมต่อแบบสองทาง (Bi-directional Communication) สนับสนุนการเชื่อมต่อสื่อสารขณะที่อุปกรณ์เกิดการเคลื่อนที่ (Mobility) และเชื่อมต่อได้ในระยะไกล ซึ่งใน Figure 2 เป็นชั้นการทำงานของ LoRaWAN โดย LoRaWAN ทำงานอยู่บนชั้นกายภาพ (PHY layer) LoRa และ LoRaWAN จะมีชุดรูปแบบการทำงานทั้งหมด 3 คลาส ประกอบด้วย Class A, Class B และ Class C ใน Class A อุปกรณ์ IoT จะอยู่ในสถานะเดินเครื่องเบล่า (Idle) และจะเริ่มทำงานตามเวลาที่กำหนดและกลับสู่สถานะ Idle เพื่อทำงานในรอบต่อไป ส่วน Class B ปรับปรุงจาก Class A โดยมีการกำหนดช่วงเวลาทำงานเป็น

ช่วงเวลาที่กำหนดเพื่อรับข้อมูล ทำให้ Class B มีแพ็กเกต Beacon เพื่อใช้ประสานเวลา (Synchronize) เป็นระยะเพื่อให้ทุกอุปกรณ์ IoT มีเวลาที่ตรงกันสำหรับใช้บริหารการส่งข้อความจากหลายอุปกรณ์ และ Class C จะทำงานตลอดเวลา ทำให้ Class C เตรียมรับและส่งข้อมูลตลอดเวลา โดยไม่คำนึงถึงการใช้พลังงาน ซึ่งหมายความว่าการใช้กับระบบที่ต้องรับและส่งข้อมูลตลอดเวลา เช่น Smart Grid เป็นต้น

สำหรับสถาปัตยกรรม LoRaWAN ดัง Figure 3 นั้น เป็นภาพรวมทั้งหมด ซึ่งประกอบด้วย 4 ส่วน คือ 1) อุปกรณ์ IoT ที่เชื่อมต่อเข้าสู่เครือข่าย LoRaWAN (LoRa Devices) 2) ส่วนเกตเวย์ (LoRa Gateway) ซึ่งจะคอยรับและส่งแพ็กเกตในชั้น LoRaWAN ระหว่างอุปกรณ์ IoT และเกตเวย์ จากนั้นเกตเวย์จะแทนที่ชั้น LoRaWAN ด้วย TCP/IP และส่งไปยัง A Network Server 3) ส่วน A Network Server จะคอยรับข้อมูลจากเกตเวย์ เพื่อตรวจสอบการซ้ำของแพ็กเกตจากอุปกรณ์ IoT และส่งต่อให้ส่วนที่ 4) ซึ่งเป็นส่วนของ An Application Server โดยข้อมูลในชั้น App จะนำไปใช้ประโยชน์ต่อโดยนักพัฒนา เช่น เชื่อมต่อโดยใช้โปรโตคอล MQTT, Rest API, CoAP และอื่นๆ ซึ่งจะเห็นว่าสถาปัตยกรรมทั้งหมดของ LoRaWAN นั้นมีความซับซ้อน ทำให้อาจมีดีเลิศสูง

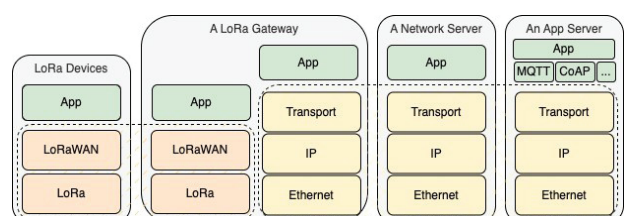


Figure 3 LoRaWAN communication architecture

3. งานวิจัยก่อนหน้า

งานวิจัยที่พยายามผสาน LoRa ร่วมกับ MQTT ก่อนหน้า (Bhawiyuga et al., 2019; Spinsante et al., 2017; Sun et al., 2020) มีลักษณะคล้ายกัน คือ อาศัยการสร้างเกตเวย์เพื่อนำข้อมูลที่ได้รับจากชั้น LoRa เข้าไปในส่วนข้อความของ MQTT แล้วแทรกด้วย TCP/IP ก่อนที่จะส่งข้อมูลต่อไปยัง Broker และ Broker ก็จะส่งต่อไปยังผู้รับข้อมูล (Subscribers) ถึงแม้ LoRa จะถูกผสานจากชั้น LoRa ไปยัง MQTT ได้ แต่จะเกิดปัญหาเมื่อจำนวนอุปกรณ์ที่เชื่อมต่อมีจำนวนมาก ซึ่งอาจทำให้เกิดแพ็กเกตสูญหายโดยไม่มีกลไกตรวจสอบ และสื่อสารแบบสองทางไม่ได้ ซึ่งเป็นหนึ่งในปัญหาที่ถูกแก้ไขได้จากการวิจัยนี้

ด้าน Changqing และคณะ (Sun et al., 2020) ได้พัฒนาการผสาน LoRa และ MQTT เข้าด้วยกันโดยการใช้ Raspberry PI เป็นเกตเวย์ LoRa และนำข้อมูลที่ได้จากชั้น

LoRa ส่งต่อไปยังแม่ข่ายกลาง 2 ช่องทางคือ การใช้ MQTT และ Rest API เมื่อข้อมูลถูกเก็บที่แม่ข่ายบนระบบคลาวด์แล้ว ก็จะนำไปใช้ประโยชน์ด้านอื่นๆ แต่วิธีการนี้เป็นเพียงการเพิ่ม ช่องทางการส่งข้อมูลจากเกตเวย์สู่ระบบคลาวด์ ซึ่งในสภาพ แวดล้อมใช้งานจริงการนำข้อมูลเข้าสู่ระบบคลาวด์โดยมีสอง ช่องทางอาจไม่มีความจำเป็น และไม่ช่วยให้การสื่อสารโดยใช้ LoRa มีประสิทธิภาพมากขึ้น

Amin และคณะ (Tayebi et al., 2022) วิเคราะห์และ ออกแบบการเชื่อมเครือข่ายของอุปกรณ์ IoT ที่ใช้ LoRaWAN และไม่ใช้ LoRaWAN จากนั้นทำการผสานทั้งสองส่วนเข้าด้วย กันเพื่อใช้ระบบหลังบ้าน (Backend) ของ LoRaWAN ได้ เช่น การเชื่อมต่อจาก CoAP มาบัง Backend ของ LoRaWAN ได้ เป็นต้น และถึงแม้ Amin และคณะ จะช่วยให้อุปกรณ์ที่เชื่อม ต่อด้วย LoRaWAN และไม่ใช้ LoRaWAN ใช้งานร่วมกันก่อน ที่จะผสานเข้าสู่ MQTT ได้ แต่ก็เป็นการเพิ่มความซับซ้อนของ การเชื่อมต่อเครือข่ายและยากต่อการจัดการ และมีโอกาสที่จะ เกิดดีเลย์และโอเวอร์เอดในเครือข่ายสูง

4. การผสาน LoRa กับ MQTT โดยใช้ LoRAWAN และ SCHC

ความพยายามที่จะนำ TCP/IP ให้สามารถสื่อสารได้ บน LoRa ของมาตรฐาน RFC 9011 (Audebert et al., 2021) เป็นวิธีอาศัย LoRaWAN เป็นกลไกส่งเฟรมสำหรับ SCHC ซึ่ง ค่อยห่อหุ้ม (Encapsulate) แพ็กเกตจากการสื่อสารด้วย TCP/IP ไปยังอุปกรณ์ IoT บน LoRaWAN ดังนั้น RFC 9011 จึงเป็น จุดเชื่อมต่อที่ทำให้ TCP/IP ถูกขยายการให้ใช้งานบนเครือข่าย LoRa ได้ แต่วิธีนี้เป็นการเพิ่มจำนวนชั้นของเครือข่ายจำนวน มหาศาลโดยไม่จำเป็น ซึ่งกลไกการเชื่อมต่อด้วย TCP/IP หาก นำมาใช้บน LoRaWAN จะเกิดโอเวอร์เอดในระบบเครือข่ายสูง จนส่งผลให้การขยายตัวของ การใช้ IoT ช้าลงเนื่องจากปัญหา ด้านประสิทธิภาพได้

การออกแบบโปรโตคอล TMAC

1. สถาปัตยกรรมของ TMAC

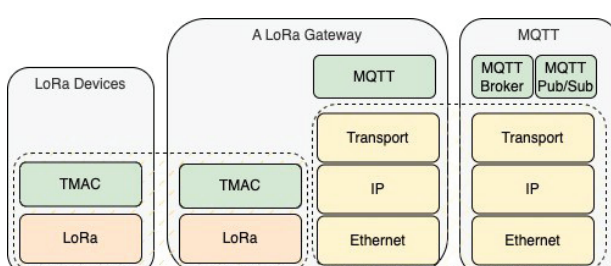


Figure 4 TMAC Protocol Stack and Architecture

งานวิจัยนี้ออกแบบโปรโตคอล Telemetry Media Access Control (TMAC) เพื่อขยายการใช้โปรโตคอล MQTT บนเครือข่าย LoRa โดยมีสถาปัตยกรรมดัง Figure 4 ซึ่งมี 3 ส่วน คือ

- Lora Devices คือ อุปกรณ์ IoT ที่สนับสนุน การเชื่อมต่อด้วย LoRa และในอุปกรณ์จะมีชั้นเครือข่าย 2 ชั้น คือ LoRa และ TMAC

- A LoRa Gateway เป็นส่วนที่ถ่ายเปลี่ยน โปรโตคอล TMAC ที่ได้รับจากจุดเชื่อมต่อ LoRa (LoRa Interface) มาสร้างเป็นแพ็กเกต MQTT ที่อยู่บนเครือข่าย TCP/IP และส่งต่อไปยัง MATT Broker

- MQTT คือส่วนของ MQTT Broker และกลุ่ม อุปกรณ์ Pub/Sub บนระบบคลาวด์

2. โปรโตคอล TMAC

2.1 ขั้นตอน Bootstrapping ของ TMAC

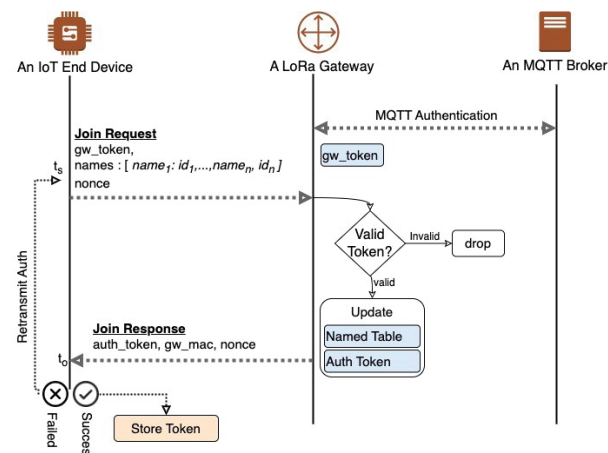


Figure 5 An TMAC bootstrapping procedure

ขั้นตอนการเชื่อมต่อของ TMAC และ MQTT เป็น ดัง Figure 5 โดยจะต้องเริ่มติดตั้ง LoRa Gateway โดยยืนยัน ตัวตนและเชื่อมต่อไปยัง Broker จนสำเร็จ และที่เกตเวย์จะมี ค่าคงพิกัดสำหรับการให้สิทธิ์การเข้าถึงเครือข่ายของอุปกรณ์ IoT คือ gw_token และเมื่อมีการปลูกเครื่อง (Bootstrap) อุปกรณ์ IoT จะเริ่มทำงานดัง Figure 5 โดยอุปกรณ์ IoT จำเป็น ต้องมีการคุณพิกัดกำเนิดตั้งนี้

- gw_token คือ รหัสที่ใช้สำหรับยืนยันขอสิทธิ์ การเชื่อมต่อเครือข่ายผ่านเกตเวย์

- names คือ รายการชื่อที่ใช้สำหรับการ Publish และ Subscribe จากอุปกรณ์ IoT ไปยัง Broker โดยข้อมูล ส่วนนี้จะแบ่งเป็น 2 ส่วน คือ ชื่อ (name) และหมายเลขชื่อ (id)

- *nonce* เป็นหมายเลขจากการสุ่มเพื่อป้องกันการซ้ำซ้อนของข้อมูลและใช้เป็นเครื่องมีระบุแพ็คเกต

เมื่อเริ่มปลูกเครื่องอุปกรณ์ IoT จะส่งข้อมูลข้างต้นไปแบบกระจาย (Broadcast) เมื่อเกตเวย์ได้รับและพบว่าเป็นแพ็คเกตประเภท Join Request (กล่าวไว้ในหัวข้อ 3.3 การแบ่งและรวมเฟรมของ TMAC) เกตเวย์จะตรวจสอบ *gw_token* เพื่อยืนยันและให้สิทธิ์เชื่อมต่อ โดยถ้าหาก *gw_token* ถูกต้อง เกตเวย์จะเก็บข้อมูล *name* ลงตาราง MQTT Names และ Auth Tokens ดัง Table 1 และ Table 2 ตามลำดับ

ในตาราง MQTT Names ดัง Table 1 ประกอบด้วยหมายเลข *MAC*, *name_id* และ *name* โดย *MAC* เป็นข้อมูลที่ดึงมาจากเฟรมของ TMAC (กล่าวไว้ในหัวข้อ 3.3 การแบ่งและรวมเฟรมของ TMAC) ส่วน *name_id* คือ หมายเลขเอกสารลักษณ์ของ *name* มี ชื่่ง *name* นี้คือชื่อสำหรับเชื่อมต่อกับ Broker และถูกใช้สำหรับการ Publish และ Subscribe ข้อมูลตามกลไกของ MQTT

Table 1 MQTT Names

MAC	name_id	name
MAC ₁	1	/p
MAC ₂	2	/n
...
MAC _n	n	/x

ส่วนตาราง Auth Tokens ใน Table 2 จะอัพเดตเมื่อเกตเวย์ยืนยันเลข *gw_token* สำเร็จ โดยเกตเวย์จะสุ่มเลข *auth_token* ขนาด 16 บิต จับคู่กับเลข *MAC* ซึ่งมีขนาด 48 บิต โดย *auth_token* นี้จะใช้สำหรับการยืนยันตัวตนคู่กับการใช้เลข *MAC* สำหรับการ Publish ข้อมูล

หลังจากที่ตาราง MQTT Names และ Auth Tokens ถูกอัพเดตแล้ว เกตเวย์จะส่ง *auth_token*, *gw_mac* และเลข *nonce* ของเกตเวย์กลับไปยังอุปกรณ์ IoT เป็นแพ็คเกตประเภท Join Response (กล่าวไว้ในหัวข้อ 3.3 การแบ่งและรวมเฟรมของ TMAC) โดย *auth_token* คือ หมายเลขที่ใช้สำหรับยืนยันอุปกรณ์ IoT ที่ผ่านการอนุญาตโดยเกตเวย์แล้ว สามารถใช้สำหรับส่งคำสั่ง Publish ข้อมูลได้ ส่วน *gw_mac* เป็นหมายเลข *MAC* ของเกตเวย์ ถูกใช้สำหรับการส่ง Publish ไปยังเกตเวย์เดียว (Unicast) ส่วน *nonce* เป็นเลขเดียวกันกับ *nonce* ที่ได้รับจากแพ็คเกต Join Request เพื่อยืนยันว่าเป็นแพ็คเกต Join Response ที่ตอบสนองจากการส่ง Join Request ที่ถูกต้อง

Table 2 Auth Tokens

MAC	auth_token
MAC ₁	Tk ₁
MAC ₂	Tk ₂
...	...
MAC _n	Tk _n

ส่วนกลไกป้องกันการสูญหายของแพ็คเกตในขั้นตอน Bootstrapping ของ TMAC นั้น หลังจากเริ่มส่ง Join Request ระบบจะเก็บเวลาเริ่มทำงาน *t_s* จากนั้นรอแพ็คเกตตอบกลับซึ่งถ้าหากแพ็คเกตถูกส่งสำเร็จอุปกรณ์ IoT จะได้รับแพ็คเกต Join Response แต่ถ้าหากไม่ได้รับแพ็คเกต Join Response จนถึง *t_d* ซึ่งหมายถึงการหมดเวลา (Timeout) อุปกรณ์ IoT จะหน่วงเวลาอ่อนโยน (Backoff) ด้วยการสุ่มระหว่าง 1 ถึง 10 วินาที และเมื่อหมดเวลา Backoff แล้ว TMAC จะเริ่มส่งแพ็คเกต Join Request และเข้าสู่ขั้นตอน Bootstrapping ใหม่

2.2 การ Publish ข้อมูลด้วย TMAC

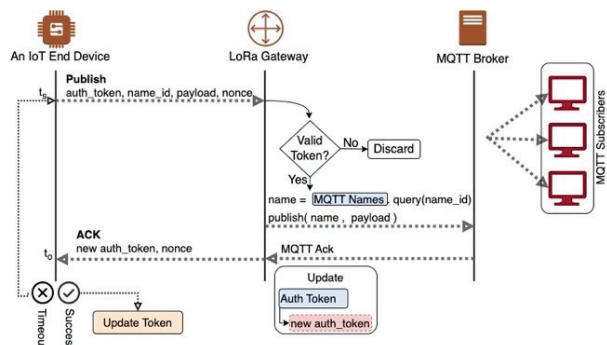


Figure 6 An IoT device publishes MQTT payloads

หนึ่งในกลไกของ MQTT คือการ Publish ข้อมูลไปยัง Broker ซึ่งการ Publish โดยใช้ TMAC บนเครือข่าย LoRa นั้นเป็นไปตาม Figure 6 ซึ่งเริ่มต้นส่งข้อมูลจากอุปกรณ์ IoT ที่ประกอบด้วย *auth_token*, *name_id*, *payload* และ *nonce* เมื่อแพ็คเกตส่งถึงเกตเวย์ เกตเวย์จะตรวจสอบ *auth_token* ในตาราง Auth Tokens (ตาม Table 2) โดยใช้เลข *MAC* และ *auth_token* หากไม่ตรงกันเกตเวย์จะละทิ้งแพ็คเกต ดังกล่าวทิ้ง แต่ถ้าหากถูกต้องเกตเวย์จะค้นหา *name* จากตาราง MQTT Names (ใน Table 1) และทำการ Publish ข้อมูล *payload* ไปยัง Broker

หลังจากเกตเวย์ส่งแพ็คเกตไปยัง Broker และได้รับแพ็คเกต PUBACK จาก Broker แล้ว เกตเวย์จะสร้าง *auth_token* ใหม่ และอัพเดตข้อมูลลงในตาราง Auth Tokens และส่ง *auth_token* กลับไปยังอุปกรณ์ IoT โดยใช้แพ็คเกตประเภท

Acknowledgement (ACK) ซึ่งประกอบด้วย *auth_token* และ *nonce* และหลังจากแพ็คเกต ACK ถูกส่งถึงอุปกรณ์ IoT แล้ว อุปกรณ์ IoT จะอัพเดตค่า *auth_token* ไว้ใช้สำหรับการ Publish ข้อมูลในครั้งถัดไป

สำหรับแพ็คเกตที่เริ่มส่ง ณ t_s จนถึง t_e และแต่ยังไม่ได้รับแพ็คเกต ACK จะเกิด Timeout ขึ้น อุปกรณ์ IoT จะเข้าสู่กระบวนการส่งใหม่ (Retransmission) โดยกลับไปที่ขั้นตอน t_s

2.3 การรับข้อมูลด้วยวิธี Subscribe ผ่าน TMAC

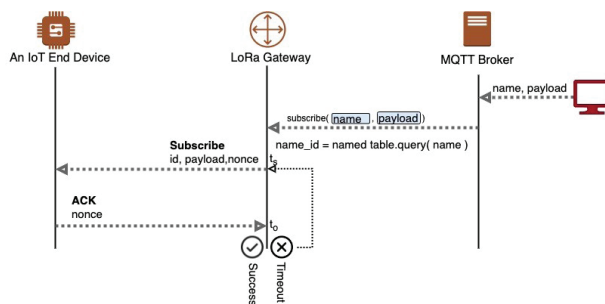


Figure 7 A subscription of IoT devices over TMAC

การ Subscribe ข้อมูลจาก Broker ผ่าน LoRa ของ鄱รโทคอล TMAC นั้น มีกลไกดัง Figure 7 ซึ่งเริ่มจากเกตเวย์ได้รับแพ็คเกต Subscribe จาก Broker จากนั้น เกตเวย์จะค้นหา *name_id* และ *MAC* จากการนำส่วน Topic ของแพ็คเกต Subscribe ค้นหาในตาราง MQTT Names และประกอบเป็นแพ็คเกต TMAC ซึ่งมี *name_id* และ *payload* เป็นส่วนประกอบของส่วนที่บันทึกเวลา t_s และ หลังจากที่แพ็คเกตถูกส่งถึงอุปกรณ์ IoT และ อุปกรณ์ IoT จะส่งแพ็คเกตประกาย ACK กลับมาอย่างเกตเวย์ เพื่อยืนยันการได้รับข้อมูล แต่ถ้าหากไม่ได้รับ ACK จนถึง t_e เกตเวย์จะเริ่ม Backoff และส่งแพ็คเกตใหม่

3. การส่งเฟรมแพ็คเกต TMAC

3.1 เฟรมแพ็คเกต TMAC

An Example	48-bit	4-bit	4-bit	8-bit	8-bit	variable	16-bit
	MAC	f_cnt	f_idx	p_type	p_len	payload	crc
	748f3cc24b0d	3	0	1	255	{ sensros: {	a2
	748f3cc24b0d	3	1	1	255	temp: 28.4,.....	8c
	748f3cc24b0d	3	2	1	240 }}	fa

Figure 8 TMAC frame

การส่งเฟรม TMAC ตาม Figure 8 มีทั้งหมด 5 ประเภท โดยมีข้อมูลแบ่งออกเป็น 2 ส่วน คือ ส่วนหัวแพ็คเกต (Header) ของ TMAC ประกอบด้วยหมายเลข MAC, f_cnt, f_idx, p_type, p_len, และ crc มีขนาดรวมกันเท่ากับ 88 บิต (11 ไบต์) และส่วน payload มีขนาดที่ยืดหยุ่นตามค่าในไฟล์ p_len โดยมีรายละเอียดดังนี้

- MAC คือ หมายเลข MAC ของอุปกรณ์ IoT
- f_cnt คือ จำนวนเฟรมที่ใช้ทั้งหมดสำหรับการส่ง เฟรมแพ็คเกตมีขนาดใหญ่กว่า 255 ไบต์ ซึ่งเป็นขนาดเฟรมที่ใหญ่ที่สุดที่สามารถส่งได้ต่อครั้งด้วยไลบรารี sx127x ผ่านเครือข่าย LoRa
- f_idx คือ ดัชนี (index) ของเฟรมแพ็คเกตโดยจะมีค่าไม่เกิน f_cnt
- p_type คือประเภทของเฟรมแพ็คเกต TMAC ซึ่งกล่าวไว้ในหัวข้อ 3.3.2
- p_len คือ ขนาดของ payload
- payload คือข้อมูลที่ถูกส่งโดยใช้ TMAC
- crc คือ ค่าที่ใช้ตรวจสอบความถูกต้องของเฟรม

3.2 ประเภทของเฟรมแพ็คเกต TMAC

การส่งเฟรมแพ็คเกตของ TMAC ตาม Figure 8 ในส่วนของ p_type จะมีหมายเลขขนาด 8 บิต สำหรับระบุประเภทของเฟรมต่อไปนี้

• Join Request คือ เฟรมสำหรับการส่งขอรับการอนุญาตเข้าเชื่อมต่อเครือข่าย (ได้รับ *auth_token*) ซึ่ง Join Request หมายเลข MAC จะระบุเลข MAC ของผู้ส่งจากอุปกรณ์ IoT และเป็นแพ็คเกตประกาย Broadcast ถ้าเกตเวย์ได้รับ p_type เป็น Join Request ก็จะนำแพ็คเกต Join Request มาประมวลผล ส่วนอุปกรณ์ IoT อื่นๆ จะไม่สนใจแพ็คเกต Join Request ดังกล่าว

• Join Response จะส่งแพ็คเกตแบบ Unicast โดยเลข MAC ในเฟรมแพ็คเกต จะหมายถึงเลข MAC ของผู้รับ เช่น ถ้าเกตเวย์ส่งแพ็คเกต Join Response และระบุเลข MAC เป็น 748f3cc24b0d และอุปกรณ์ IoT ที่มีเลข MAC ดังกล่าวเท่านั้นที่จะนำเฟรมแพ็คเกตไปประมวลผล อุปกรณ์ IoT อื่นๆ ก็จะไม่สนใจเฟรมแพ็คเกตดังกล่าว

- Publish เป็นแพ็คเกตที่ถูกส่งจากอุปกรณ์ IoT และการส่งจะระบุ MAC ของเกตเวย์ เพื่อให้เกตเวย์ส่งต่อแพ็คเกตดังกล่าวไปยัง Broker
- Subscribe คือ เป็นประเภทแพ็คเกตที่ต้องส่งจากเกตเวย์ไปยังอุปกรณ์ IoT ผ่านเครือข่าย LoRa ทำให้

แพ็คเกตประเภทนี้จะระบุเลข MAC เป็นของอุปกรณ์ IoT ที่ต้องรับแพ็คเกต Subscribe

- ACK เป็นแพ็คเกตแจ้งผลการส่งแพ็คเกต สำเร็จ ดังนั้นจึงระบุเลข MAC ของผู้รับในแพ็คเกต ACK

3.3 กลไกการ Fragmentation

ในการแพ็คเกตโดยใช้ TMAC บนเครือข่าย LoRa แพ็คเกตจะถูกแบ่งออกเป็นเฟรมให้มีขนาดไม่เกินกว่าที่ LoRa จะสามารถรับและส่งข้อมูลได้ เช่น การส่งแพ็คเกตบนเครือข่าย LoRa โดยใช้ไลบรารี sx127x จะทำได้ไม่เกิน 255 ไบต์ เป็นต้น ซึ่งหน่วยนี้เป็นหน่วยที่ระบุแพ็คเกตขนาดใหญ่ที่สุดที่จะส่งได้ Maximum Transmission Unit (MTU) ดังนั้น กลไกการ Fragmentation จะช่วยให้เฟรมแพ็คเกตมีขนาดไม่เกิน MTU ดังนี้

- หาจำนวนของเฟรมแพ็คเกตได้จาก $c = p / (255-h)$ เมื่อ c คือ จำนวนเฟรมแพ็คเกต ที่จะถูกสร้าง p คือ ความยาวของ payload และ h คือ ความยาวของหัวแพ็คเกต TMAC

- หลังจากได้ c แล้วก็จะแบ่ง payload ออกตามจำนวน c ซึ่งหาได้จาก $s = p/c$ เมื่อ s คือขนาดของข้อมูลในแต่ละเฟรมแพ็คเกต p คือ ขนาดของ payload และ c คือค่าที่ได้จากการหาจำนวนของเฟรมแพ็คเกต

- ข้อมูลที่ถูกแบ่งจาก payload แล้วจะนำมาเติม Header ของ TMAC และเริ่มส่งทีละเฟรม โดยทิ้งระยะเวลาห่างระหว่างเฟรมเป็นเวลา 100 มิลลิวินาที (ms) ซึ่งเป็นค่าที่เหมาะสม (Optimal) และน้อยที่สุดที่ทำให้การส่งเฟรมสำเร็จ

3.4 กลไกการ Reassembly

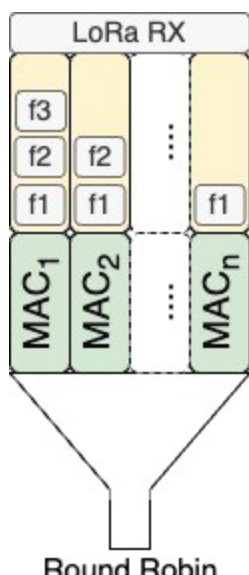


Figure 9 Reassembly bucket

หลังจากที่แพ็คเกตถูกส่งแล้ว ผู้รับจะตรวจสอบหมายเลข MAC ว่าเป็นแพ็คเกตของตัวเองหรือไม่ ถ้าหากหมายเลข MAC ตรงกับหมายเลข MAC ของเครื่อง ผู้รับจะสร้างตัวกร้าดง Figure 9 และรับแต่ละเฟรมแพ็คเกตไว้ที่ตัวกร้าตามเลข MAC โดยหลังจากที่ได้รับ f_{idx} ครบตาม f_{cnt} และตัวกร้าของเลข MAC นั้นจะมีสถานะเป็นพร้อมนำออก และ TMAC จะนำเฟรมแพ็คเกตทั้งหมดมารวบเป็นแพ็คเกตและนำไปประมวลผลที่จะ分配ให้กับตัวกร้าตามลำดับด้วยวิธี Round Robin

สำหรับหมายเลข MAC ที่ถูกนำไปสร้างตัวกร้าแต่จำนวน f_{idx} รวมแล้วไม่เท่ากับ f_{cnt} เกินกว่าเวลาที่กำหนด (Timeout) MAC ตัวกร้าดังกล่าวจะถูกล้างออกจากหน่วยความจำ

4. การพัฒนาซอฟต์แวร์

การพัฒนาซอฟต์แวร์ TMAC พัฒนาโดยใช้ภาษา MicroPython และใช้ไลบรารี sx127x ในการกล้าสัญญาณ LoRa ระหว่างอุปกรณ์ IoT และเกตเวย์ ส่วนการสื่อสารระหว่างเกตเวย์และ Broker นั้นเกตเวย์พัฒนาโดยใช้ไลบรารี mqtt.simple สำหรับ esp32 และ Broker ใช้วิธีติดตั้งซอฟต์แวร์ Mosquito MQTT Broker บนระบบปฏิบัติการลินุกส์ Ubuntu 20.04 LTS

การทดลองและประเมินผล

1. แผนผังการทดลอง

การออกแบบการทดลองของงานวิจัยเพื่อประเมินประสิทธิภาพและประสิทธิผลของซอฟต์แวร์ TMAC โดยมีแผนผังดัง Figure 10 ซึ่งประกอบด้วยคอมพิวเตอร์ Labtop, MQTT Broker, LoRa Gateway และ กลุ่มอุปกรณ์ IoT โดยคอมพิวเตอร์ Labtop และ LoRa Gateway จะเชื่อมไปยัง MQTT Broker ผ่านเครือข่ายไร้สาย (Wireless) ช่วงความถี่ 2.4 GHz และเกตเวย์จะเชื่อมกับกลุ่มอุปกรณ์ IoT ผ่านเครือข่าย LoRa ห่างกันระยะ 1, 2, 3, 4, และ 5 กิโลเมตร ตามลำดับ โดยข้อมูลที่ส่งมี 3 ส่วน คือ

- อุปกรณ์ IoT₁₋₅ เข้าร่วมเครือข่าย (Join Networks) กับ LoRa Gateway เพื่อทดสอบการส่งเฟรมแพ็คเกตประเภท Join Request และ Join Response

- การส่งข้อมูล Publish จากอุปกรณ์ IoT₁₋₅ โดยงานวิจัยนี้ส่งข้อมูลขนาด 250, 500 และ 750 ไบต์ตามลำดับ เพื่อทดสอบการส่งเฟรมแพ็คเกตที่มีการแบ่งเป็นหลายเฟรมแพ็คเกตและเฟรมแพ็คเกตเดียว

- การ Subscribe ข้อมูลโดยอุปกรณ์ IoT₁₋₅ จาก Labtop ผ่าน MQTT Broker เพื่อทดสอบการส่งแพ็คเกตประเภท Subscribe ผ่านเครือข่าย LoRa



Figure 10 The test-bed scenario

หลังจากกำหนดการส่งข้อมูลแล้วการทดลองนี้ได้กำหนดค่าพารามิเตอร์อื่นๆ เช่น Timeout ไว้ที่ 5 วินาที (sec) พื้นที่การทดลองเป็นอ่างเก็บน้ำเพื่อควบคุม Line-of-Sight ของอุปกรณ์ IoT₁₋₅ ให้เป็นแบบไม่มีสิ่งกีดขวาง และชั้น PHY ของ LoRa ดัง Table 3

Table 3 LoRa's parameter Settings

MAC	ID
Frequency	923.2Mhz
TX power	14
Signal bandwidth	125kHz
Spread factor	7
Coding rate	4
Preamble length	8
Implicit header	False

ฮาร์ดแวร์ที่ใช้สำหรับการทดลองโดยใช้โปรโตโภคอล TMAC ของวิจัยนี้เนื่องจาก MQTT Broker และ Laptop ใช้คอมพิวเตอร์โน้ตบุ๊กหน่วยประมวลผล Intel Core i5 หน่วยความจำ 8 GB ติดตั้งระบบปฏิบัติการลินุกซ์ Ubuntu 20.04 LTS ส่วนอุปกรณ์ IoT₁₋₅ และ LoRa Gateway ใช้ ESP32 LILYGO T-Beam V1.1 หน่วยประมวลผลรุ่น CH9102 หน่วยความจำ SPRAM 8MB และ FLASH 4MB ติดตั้ง MicroPython และโปรโตโภคอล TMAC จากงานวิจัยนี้

2. ตัววัด

ตัววัด (Metrics) ด้านประสิทธิภาพและประสิทธิผลของงานวิจัยกำหนดขึ้นเพื่อวัดประสิทธิภาพการเชื่อมต่อสื่อสารในระยะไกล ปริมาณการส่งข้อมูล (Throughput) ดีเลย์ (Delay) และปริมาณการส่งแพ็กเก็ตใหม่เมื่อเกิดแพ็กเก็ตสูญหาย (Retransmission) ดังต่อไปนี้

- Throughput โดยส่วนใหญ่ใช้ประเมินปริมาณการส่งข้อมูลสำเร็จ การใช้ Throughput ในการประเมินผลทำให้สามารถประเมินประสิทธิผลของการส่งแพ็กเก็ตของ TMAC ที่ผ่านกับ MQTT ได้ และรายงานในหน่วยกิกะบิตต่อวินาที (kbps)

- Delay เพื่อวัดความล่าช้าในการส่งแพ็กเก็ตจากต้นทางไปยังปลายทาง เช่น จาก Laptop ไปยัง IoT₁, IoT₂ และ IoT₃ ตาม Figure 8 โดย Delay ใช้เป็นเครื่องมือประเมินประสิทธิภาพการจัดการแพ็กเก็ตโดยใช้ TMAC ได้และรายงานในหน่วย ms

- Retransmission Ratio ใช้ประเมินอัตราการกู้คืน (Recovery) แพ็กเก็ตที่สูญหายของโปรโตโภคอล TMAC ในหน่วยร้อยละ

การทดลองตามตัววัดในงานวิจัยนี้ทำซ้ำอย่างน้อย 40 ครั้งและกำหนดช่วงความเชื่อมั่นไว้ที่ร้อยละ 95

3. ผลการทดลอง

3.1 ดีเลย์จากการส่งแพ็กเก็ต Join Request และ Join Response

ใน Figure 11 เป็นผลการทดลองส่ง Join Request จากอุปกรณ์ IoT จนกว่าจะได้รับ Join Response จากเกตเวย์จากระยะทาง 1-5 กิโลเมตร จะเห็นว่าการเกิดดี-เลย์อยู่ในระดับใกล้เคียงกัน แต่ถ้าดูในระยะ 4 กิโลเมตรมี Error bar สูงนั้นเกิดจากอุปกรณ์ IoT ไม่ได้รับ Join Response จากเกตเวย์จำนวน 2 ครั้งแต่เนื่องจากได้มีการกำหนดค่า Timeout ไว้ที่ 5 sec (หรือ 5,000 ms) ทำให้เกิด Error bar ในช่วงที่กว้างแต่โดยเฉลี่ยแล้วระยะทางไม่ส่งผลต่อดีเลย์ของแพ็กเก็ต Join Request และ Join Response โดย TMAC สามารถประสานระหว่าง LoRa และ MQTT ได้ในเวลาที่ต่ำกว่า 2,500 ms ในระยะทาง 5 กิโลเมตร ซึ่งจะเห็นว่าระยะทางไม่ส่งผลให้เกิดเน็ตเวิร์กโอเวอร์โหลดสูงขึ้น

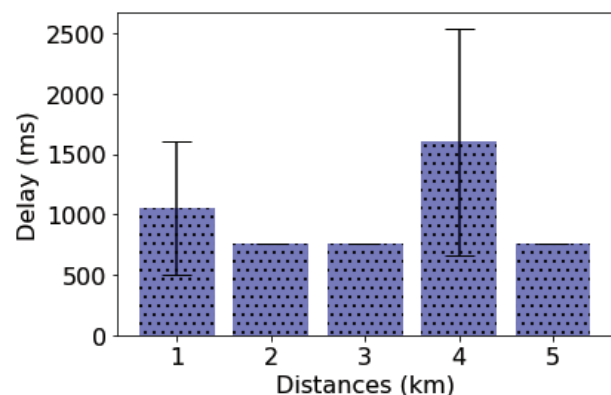


Figure 11 TMAC network join delay

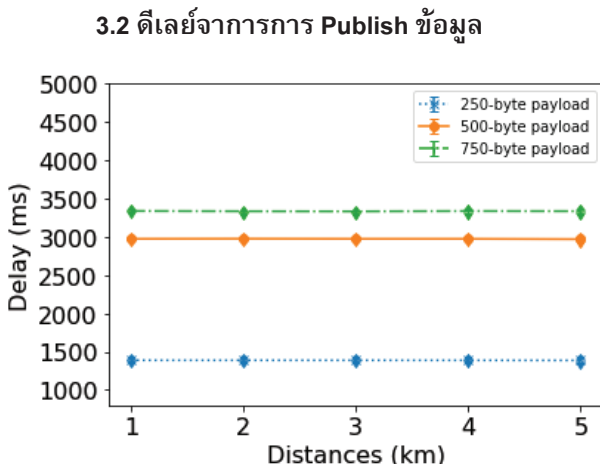


Figure 12 The TMAC delay of 250, 500 and 750 bytes data transmission

การ Publish ข้อมูลจากอุปกรณ์ IoT เพื่อผสานเข้ากับ MQTT นั้น TMAC สามารถช่วยให้ Publish ข้อมูลผ่านเครือข่าย LoRa ได้ปริมาณมากขึ้น โดยการทดลองได้ทดสอบส่ง Payload ขนาดตั้งแต่ 250, 500 และ 750 ไบต์ และ Publish สำเร็จอย่าง 100 และเกิดดีเลย์ขึ้นดัง Figure 12 ซึ่งแกน x คือระยะทางในหน่วยกิโลเมตร และแกน y คือค่าดีเลย์ที่เกิดขึ้น โดยจะเห็นว่าการส่งแพ็กเกตที่ไม่เกิด Fragmentation ในทุกระยะทางจะมีดีเลย์ต่ำสุดที่ $1,386.1 \pm 0.9$ ms และสูงสุดที่ $1,388.1 \pm 0.8$ ms และถ้าหากมีการ Fragmentation มีดีเลย์ของการส่งแพ็กเก็ตขนาด 500 ไบต์ตั้งแต่ $2,969.6 \pm 1.2$ ms และสูงสุดที่ $2,975.8 \pm 1.2$ ms ส่วนแพ็กเกตที่มี Payload ขนาด 750 ไบต์จะมีดีเลย์อยู่ตั้งแต่ $3,333.0 \pm 0.9$ ms และสูงสุดที่ $3,338.0 \pm 1.3$ ms ทำให้ TMAC เป็นโพรโทคอลที่ช่วยเพิ่มปริมาณการส่งข้อมูลผ่านเครือข่าย LoRa ช่วยป้องกันแพ็กเกตสูญหาย และมีดีเลย์อยู่ในระดับต่ำกว่า 3,500 ms ในระยะ 5 กิโลเมตร

3.3 ผลการใช้แบบนัดวิดท์เมื่อ Publish และ Subscribe ข้อมูล

เมื่อมีการ Publish และ Subscribe ข้อมูลผ่านเครือข่าย LoRa โดยใช้ Payload ขนาด 250, 500 และ 750 ไบต์ จากระยะทางตั้งแต่ 1-5 กิโลเมตร ดัง Figure 13 โดยแกน x คือระยะทางที่ทำการทดสอบ และแกน y คือ แบบนัดวิดท์ที่ใช้ระหว่างการสื่อสารบนเครือข่าย LoRa ในหน่วย kbps และคาดว่าการส่งข้อมูลในระยะที่ใกล้ขึ้นจะเกิดโอเวอร์โหลดสูงขึ้นและจะทำให้แบบนัดวิดท์ลดลง แต่ผลการทดลองพบว่าแบบนัดวิดท์ที่ใช้รับและส่งข้อมูลผ่านเครือข่าย LoRa จะอยู่ระหว่าง 3.52 ± 0.1 kbps ถึง 3.56 ± 0.1 kbps และเป็นระดับแบบนัดวิดท์ที่สามารถใช้การได้สำหรับกับการรับและส่งคำสั่งควบคุมอุปกรณ์ IoT จากระยะใกล้ได้

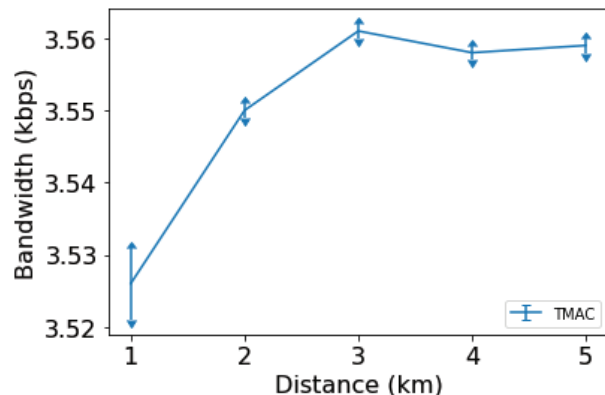


Figure 13 The bandwidth of TMAC publish and subscribe transmission

3.4 การเกิด Retransmission

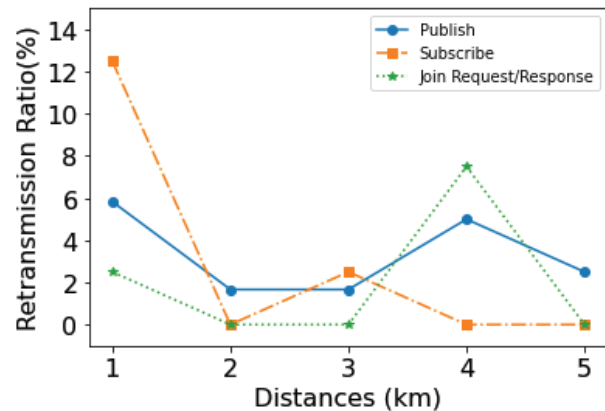


Figure 14 TMAC Retransmission Ratio

สัดส่วนการเกิด Retransmission ดัง Figure 14 คือจำนวนร้อยละของการส่งแพ็กเกตใหม่ของผลการทดลองทั้งหมด เมื่อเกิดการเชื่อมต่อล้มเหลวผ่านเครือข่าย LoRa ที่ระยะทาง 1-5 กิโลเมตรตามแนวแกน x และสัดส่วนร้อยละตามแนวแกน y และหากดูข้อมูลในแกน y จะเห็นว่าสัดส่วนการเกิด Retransmission ต่ำกว่าร้อยละ 10 โดยมีเพียงการส่ง Subscribe จากเกตเวย์ในระยะ 1 กิโลเมตรเท่านั้นที่มีสัดส่วน Retransmission สูงร้อยละ 12 โดยการทดลองนี้จะเห็นว่า TMAC ช่วยให้การส่งข้อมูลได้ร้อยละ 100 โดยมีสัดส่วนการ Retransmission ไม่เกินร้อยละ 12 ที่ระยะทาง 1-5 กิโลเมตร

สรุป

โพรโทคอล MQTT เป็นโพรโทคอลที่มีความสำคัญ สำหรับการเชื่อมต่อของอุปกรณ์ IoT แต่ด้วยความต้องการใช้งานของ MQTT บนเครือข่าย LoRa มีสูงขึ้น และยังขาดโพรโทคอลในชั้น MAC ที่ค่อยประสานและผนวก MQTT เข้ากับ LoRa ได้อย่างมีประสิทธิภาพ โดยก่อนหน้านี้มีความพยายามพัฒนาวิธีการที่หลากหลาย แต่ก็ยังมีจุดที่ต้องปรับปรุงแก้ไข เช่น โอเวอร์เอดของเครือข่าย ดีเลย์ ขนาดของ

แพ็คเกตมีจำนวนจำกัด ความซับซ้อนการผสาน MQTT เข้ากับ LoRa การเพิ่มชั้นเครือข่ายบน LoRa เพื่อให้สนับสนุน MQTT และการใช้ LoRa โดยไม่อาศัยชั้น MAC ซึ่งทำให้การเชื่อมต่อไม่มีความน่าเชื่อถือ งานวิจัยนี้จึงออกแบบโปรโทคอล TMAC สำหรับผสาน MQTT ให้เข้ากับ LoRa แล้วทดสอบในระบบเครือข่าย Test-bed ในระยะ 1-5 กิโลเมตรโดยใช้ขนาด Payload ที่หลากหลาย และพบว่าโปรโทคอล TMAC สามารถช่วยให้การส่งแพ็คเกตได้ร้อยละ 100 มีเดลย์ไม่เกิน 3,500 ms ในระยะ 1-5 กิโลเมตร และมีโภ-เวอร์เดดเครือข่ายต่ำ ซึ่ง Retransmission สูงสุดเพียงร้อยละ 12 ได้

เอกสารอ้างอิง

- Ansari, N., & Zhang, J. (2013). *Media Access Control and Resource Allocation: For Next Generation Passive Optical Networks*. Springer Publishing Company, Incorporated.
- Audebert, V., Catalano, J., Coracin, M., Gourrierec, M. L., Sornin, N., & Yegin, A. (2021). *Static Context Header Compression and Fragmentation (SCHC) over LoRaWAN (RFC No. 9011; Standards Track)*. IETF.
- Bhawiyuga, A., Amron, K., Primanandha, R., Kartikasari, D. P., Arijudin, H., & Prabandari, D. A. (2019). LoRa-MQTT Gateway Device for Supporting Sensor-to-Cloud Data Transmission in Smart Aquaculture IoT Application. *2019 International Conference on Sustainable Information Engineering and Technology (SIET)*, 187–190. <https://doi.org/10.1109/SIET48054.2019.8986124>
- Ferré, G., & Giremus, A. (2018). LoRa Physical Layer Principle and Performance Analysis. *2018 25th IEEE International Conference on Electronics, Circuits and Systems (ICECS)*, 65–68. <https://doi.org/10.1109/ICECS.2018.8617880>
- Heile, B., Minaburo, A., PAradells, J., Perkins, C., Ponsard, B., Raitilainen, A., SUM, C.-S., Toutain, L., Yegin, A., & Zuniga, J. C. (2018). *Low-Power Wide Area Network (LPWAN) Overview (RFC No. 8376)*. IETF.
- HiveMQ. (2020). *MQTT & MQTT 5 Essentials* (Vol. 1). HiveMQ GmbH.
- Huang, A., Huang, M., Shao, Z., Zhang, X., Wu, D., & Cao, C. (2019). A Practical Marine Wireless Sensor Network Monitoring System Based on LoRa and MQTT. *2019 IEEE 2nd International Conference on Electronics Technology (ICET)*, 330–334. <https://doi.org/10.1109/ELTECH.2019.8839464>
- IETF. (2021). *Internet Engineering Task Force*. <https://www.ietf.org/>
- Kietzmann, P., Alamos, J., Kutscher, D., Schmidt, T. C., & Wählisch, M. (2022). Delay-Tolerant ICN and Its Application to LoRa. *Proceedings of the 9th ACM Conference on Information-Centric Networking*, 125–136. <https://doi.org/10.1145/3517212.3558081>
- Minaburo, A., Toutain, L., Gomez, C., Barthel, D., & Zuniga, J. C. (2020). *SCHC: Generic Framework for Static Context Header Compression and Fragmentation (RFC No. 8724)*. IETF. <https://datatracker.ietf.org/doc/html/rfc8724>
- Petrariu, A. I., Lavric, A., & Coca, E. (2019). LoRaWAN Gateway: Design, Implementation and Testing in Real Environment. *2019 IEEE 25th International Symposium for Design and Technology in Electronic Packaging (SIITME)*, 49–53. <https://doi.org/10.1109/SIITME47687.2019.8990791>
- Socolofsky, T. J., & Kale, C. J. (1991). *A TCP/IP Tutorial (RFC) [1180]*. IETF.
- Spinsante, S., Ciattaglia, G., Del Campo, A., Perla, D., Pigini, D., Cancellieri, G., & Gambi, E. (2017). A LoRa enabled building automation architecture based on MQTT. *2017 AEIT International Annual Conference*, 1–5. <https://doi.org/10.23919/AEIT.2017.8240560>
- Sun, C., Zheng, F., Zhou, G., & Guo, K. (2020). Design and Implementation of Cloud-based Single-channel LoRa IIoT Gateway Using Raspberry Pi. *2020 39th Chinese Control Conference (CCC)*, 5259–5263. <https://doi.org/10.23919/CCC50068.2020.9189480>
- Tayebi, A., Veltri, L., Zanichelli, F., & Caselli, S. (2022). Interworking between LoRaWAN and non-LoRa IoT Systems. *2022 IEEE International Conference on Pervasive Computing and Communications Workshops and Other Affiliated Events (PerCom Workshops)*, 415–420. <https://doi.org/10.1109/PerComWorkshops53856.2022.9767494>
- Vangelista, L. (2017). Frequency Shift Chirp Modulation: The LoRa Modulation. *IEEE Signal Processing Letters*, 24(12), 1818–1821. <https://doi.org/10.1109/LSP.2017.2762960>